

Chapter 11

Evaluation of the HRRT - Results



放射線医学総合研究所
 脳機能イメージング研究開発推進室
 生駒 洋子

11.1 Evaluation of Detector Setup

11.1.1 Energy Resolution

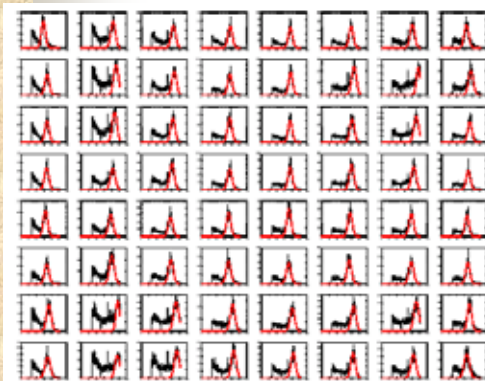


Figure 11.1: Crystal energy spectra of the LSO_{low} layer from a single detector block. Shown are histograms for each crystal and the gaussian curves fitted to the 511keV energy peaks.

Table 11.1: Mean energy resolution [%] for all detector heads

Head	Crystal Layer			
	LSO _{slow}	LSO _{medium}	LSO _{fast}	GSO
0	20.5	-	29.4	-
1	-	19.5	-	28.0
2	18.8	-	25.8	-
3	-	21.2	-	25.7
4	21.9	-	31.6	-
5	19.5	-	28.5	-
6	20.2	-	26.8	-
7	-	20.5	-	27.3
mean	20.2	20.4	28.4	27.0

▶ ⁶⁸Ge line source

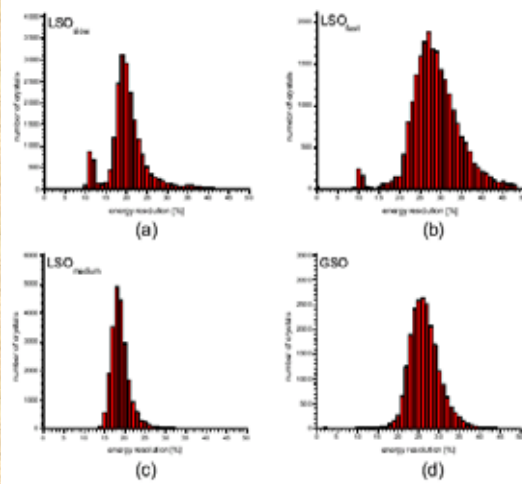
▶ ガウス関数 Fit $G(x) = A_0 \exp \frac{-(x-x_0)^2}{2\sigma^2}$

▶ 各結晶エネルギー分解能

$$R_{cry} = \frac{2.35\sigma}{x_0}$$

■ エネルギー分解能の平均は24%

11.1.1 Energy Resolution



- LSO_{slow}とLSO_{medium}のエネルギー分解能は平均20%で分散は小さい。
- LSO_{fast}とGSOは分散が大きく分解能も悪い。
 ← light outputが低いため

Figure 11.2: Histograms of the measured energy resolution for all crystals of the following layers: (a) LSO_{slow}, (b) LSO_{fast}, (c) LSO_{medium}, (d) GSO.

11.1.2 Shape Discrimination

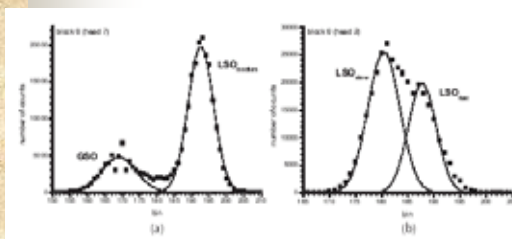


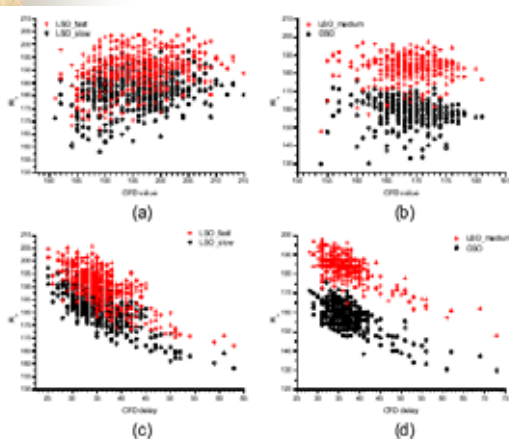
Figure 11.3: Pulse Shape Discrimination. (a) LSO/GSO detector head, (b) LSO/LSO detector head.

- LSO/GSO検出器の2つのピークは容易に弁別できるが、LSO/LSO検出器のピークは接近しており、弁別が難しい。
- LSO_{slow}とLSO_{fast}の平均ピーク位置 R_p の差は 8.7bins、LSO_{medium}とGSOの差は約3倍の25binsであった。

Table 11.2: $\overline{R_p}$ (bins) for all detector heads

Head	Crystal Layer			
	LSO _{slow}	LSO _{medium}	LSO _{fast}	GSO
0	184.3	-	193.7	-
1	-	180.8	-	157.1
2	179.0	-	187.1	-
3	-	183.5	-	157.5
4	181.0	-	190.4	-
5	183.3	-	192.1	-
6	178.1	-	185.8	-
7	-	185.2	-	160.1
mean	181.1	181.2	189.8	158.2

11.1.2 Shape Discrimination



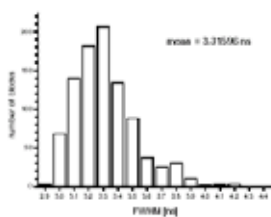
■ R_p はCFD値にはほとんど依存しないが、CFD delay値とはexponentialの関係。



time alignmentでCFD delayを調節するとピーク位置が変わるため、shape analysisはtime alignmentの後で行う方がよい。

Figure 11.4: $R_p \sim E_1/E_2$ as function of (a) the CFD setting for the LSO/LSO detector blocks, (b) the CFD setting for the LSO/GSO detector blocks, (c) the CFD delay setting for the LSO/LSO detector blocks and (d) the CFD delay setting for the LSO/GSO detector heads.

11.1.3 Time Alignment



■ 全936検出器ブロックの時間分解能のヒストグラムより、平均時間分解能は3.32nsであった。

➔ 6ns wide coincidence windowが可能であり、10nsや12ns timing windowに比べてrandomを減らすことができる。

Figure 11.5: Histogram of all timing resolution values from the total number of 936 detector blocks. The mean value of 3.32 ns FWHM reflects the timing resolution of the whole tomograph.

11.2 Sensitivity

11.2.1 Point Source Measurement

²²Na point source

Table 11.3: Sensitivity values [cps/kBq] for point source measurement

Energy Window [keV]	Both Layers	Front Layer	Cross Layer	Back Layer
250-650	70.7	30.2	31.7	10.4
300-650	57.7	24.3	26.4	7.3
350-650	46.5	18.8	21.5	6.3
400-650	37.9	14.9	17.6	5.3
450-650	29.6	11.5	13.9	4.3

- 350-650keVのエネルギーウィンドウではsensitivityは4.7%であった。

11.2.2 Line Source Measurement

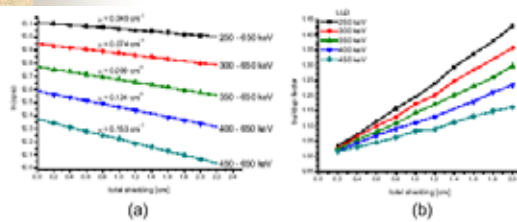


Figure 11.6: (a) Sensitivity measurement with shielded line source. The fit to the data gives the sensitivity of an unshielded source. (b) Buildup factors for this measurement.

Table 11.4: Sensitivity values [cps/kBq] for line source measurement

Energy Window [keV]	ϵ_{NEMA}	ϵ			
		both layers	front layer	cross layer	back layer
250-650	9.60	26.9	11.4	12.1	3.3
300-650	8.21	23.0	9.8	10.4	2.8
350-650	6.92	19.4	8.1	8.9	2.5
400-650	5.79	16.2	6.6	7.5	2.2
450-650	4.73	13.2	5.3	6.2	1.8

$$\epsilon = \frac{\text{unshielded true count rate}}{\text{activity within FOV}}$$

$$\epsilon_{NEMA} = \frac{\text{unshielded true count rate}}{\text{activity within line source}}$$

$$N = N_0 B(x, E_\gamma) e^{-\mu(x)x}$$

Buildup factor

N : attenuation including scatter

N_0 : broad beam attenuation

- μ 値は 0.049cm^{-1} (250-650keV)、 0.153cm^{-1} (450-650keV)であった。
- μ 理論値 (0.229cm^{-1} at 511keV)との相違はscattered eventによりカウント数が増えたためと思われる。
- Buildup factorはshieldの増加に伴い増加した。

11.2.2 Line Source Measurement

Table 11.5: μ -values (line source measurement)

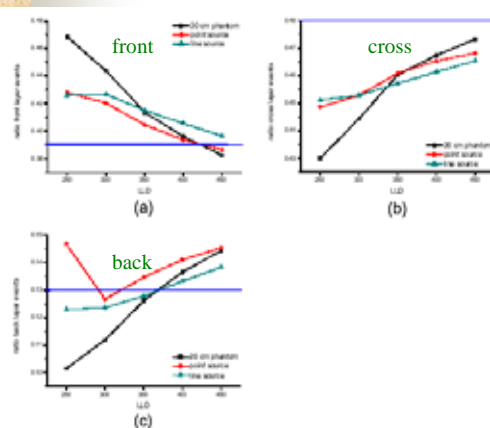
Energy Window [keV]	μ -Value [cm^{-1}]	
	uncorrected	scatter corrected
250-650	0.049	0.240
300-650	0.074	0.231
350-650	0.099	0.223
400-650	0.124	0.218
450-650	0.153	0.221

- Scatter補正を行うと、 μ 値は理論値とほぼ一致した。
- エネルギーウィンドウ450-650keVでは、point sourceとline sourceのsensitivityの比は2.23であった。

Table 11.6: Comparison of sensitivity measurements (ps = point source, ls = line source)

Energy Window [keV]	Sensitivity Ratio (ps/ls)
250-650	2.63
300-650	2.51
350-650	2.40
400-650	2.34
450-650	2.23

11.2.2 Line Source Measurement



- 全eventに占めるfront layer、cross layer、back layerのeventの割合は理論値とは異なる。

↓
layer separationが完全ではなく、その精度はエネルギーによって変わる。

Figure 11.7: (a) Count rate ratio of front layer events, (b) of cross layer events, and (c) of back layer events for three different measurements. The theoretical value is indicated as a straight line.

11.2.3 3D Sensitivity Profile

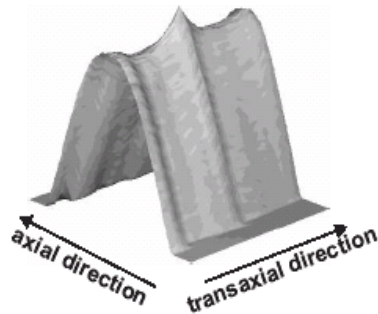
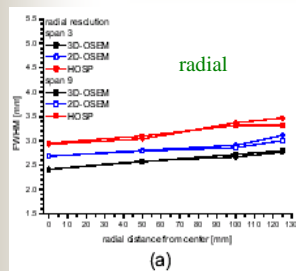


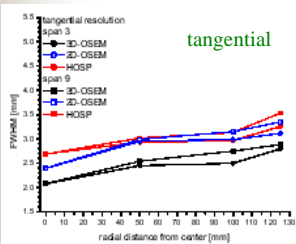
Figure 11.8: 3D sensitivity profile measured with a ^{22}Na point source moved in the axial direction through the FOV. The transaxial direction was scanned in increments of 10mm.

- Sensitivityは中心で最も高い。

11.3 Spatial Resolution (Transaxial Resolution)



(a)



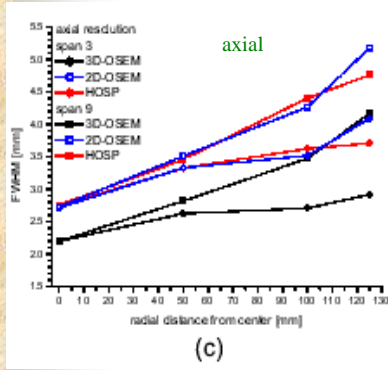
(b)
Figure 11.9

▶span: 3, 9

▶reconstruction: 3D-OSEM, FORE+2D-OSEM, FORE+2D-HOSP

- 最もFWHMが良いのはspan3、3D-OSEMの場合の中心で2.42mm (radial)、2.08mm (tangential)。
- span3、3D-OSEMの場合、中心から125mmの点でのFWHMは2.77mm (radial)、2.80mm (tangential)。
- Radial, tangential resolutionはspanが3と9の場合で変わらない。
- FORE+2D-OSEM、FORE+2D-HOSPでは3D-OSEMに比べて分解能はやや劣るが、span依存性はない。
- HOSPは最も分解能が悪いが、再構成時間は2D-OSEM、3D-OSEMに比べて短い。

11.3 Spatial Resolution (Axial Resolution)

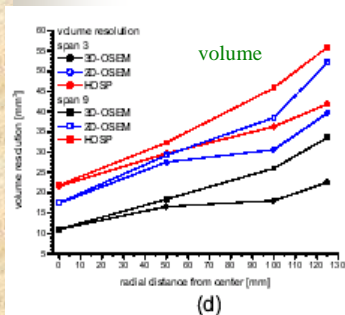


- 中心で2.20mm、125mmで2.92mm (span 3, 3D-OSEM)
- 中心で2.73mm、125mmで5.18mm (span 9, 2D-OSEM)
- 中心から離れた場所では span9、3D-OSEMよりspan3、FORE+2D-HOSPの方が分解能が良い
→ 分解能劣化はaxial compressionによる

Figure 11.9

11.3 Spatial Resolution (Volume Resolution)

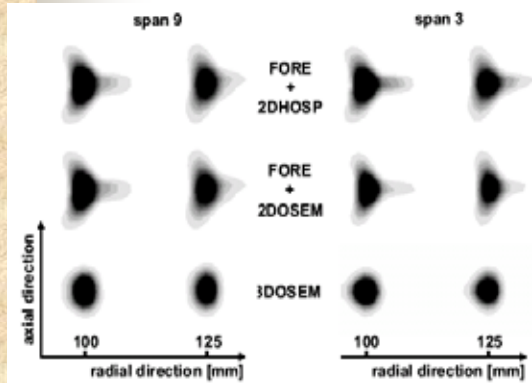
$$\text{Volume Resolution} = \text{FWHM}_{\text{radial}} \cdot \text{FWHM}_{\text{tangential}} \cdot \text{FWHM}_{\text{axial}}$$



- Span3、3D-OSEMの場合、FOV200mm以内ではVolume Resolutionは18.1 μl以下であった。他のspan、再構成法では、axial resolutionの劣化により、中心から離れるに従って急激に Spatial Resolutionが劣化した。

Figure 11.9: Point source resolution values from different reconstructions with different spans. (a) radial, (b) tangential, (c) axial and (d) corresponding volume resolution for different reconstruction types with different spans.

11.3 Spatial Resolution (Images)



- Fore+2Dの場合、axial、radial 方向の分解能が劣化。
- 3D-OSEM の場合、span3 と span9 で axial resolution が異なる。

Figure 11.10: Point source images from different reconstruction modes and spans. The maximum color range of all images was set to 10% of the maximum to illustrate the 'foohills' of the images.

11.3 Spatial Resolution (Effect of FORE)

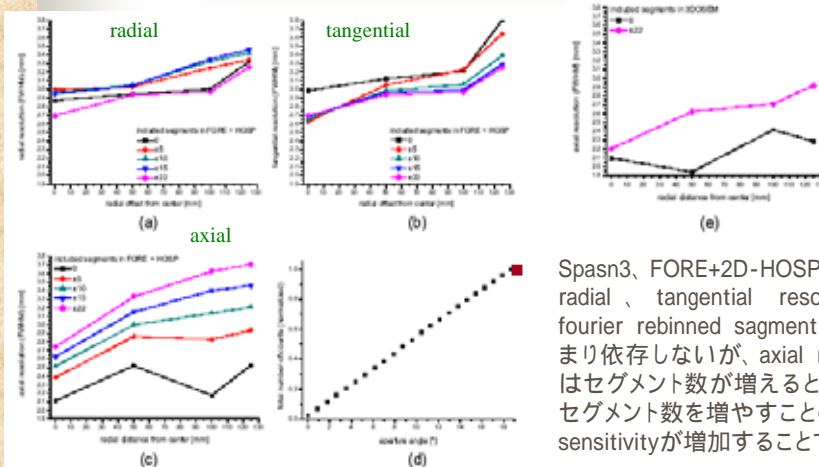


Figure 11.11: Resolution values (span 3) for the point source measurement, reconstructed with different numbers of segments included in FORE. (a) radial, (b) tangential and (c) axial resolution for span 3 + FORE + HOSP. (d) Integral number of counts for this measurement as a function of the number of included segments. (e) Axial resolution for span 3 + 3D-OSEM.

Span3、FORE+2D-HOSPの場合、radial、tangential resolution は fourier rebinned segment の数にあまり依存しないが、axial resolution はセグメント数が増えると劣化する。セグメント数を増やすことの利点は、sensitivityが増加することである。

Span3、3D-OSEMでは、segment が 0 の場合の方が全45segment の場合よりもaxial resolutionが良い。

11.3 Spatial Resolution (Effect of DOI)

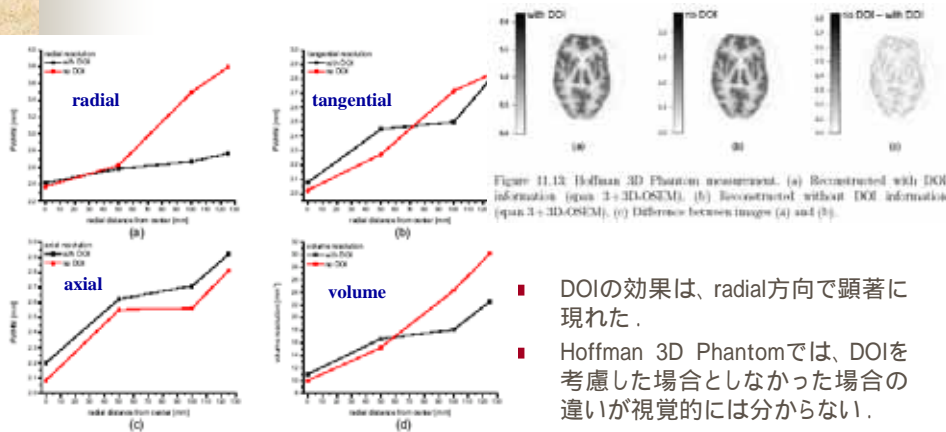


Figure 11.12: Point source measurement with and without DOI information, (a) Radial resolution, (b) Tangential resolution, (c) Axial resolution, (d) Volume resolution.

- DOIの効果は、radial方向で顕著に現れた。
- Hoffman 3D Phantomでは、DOIを考慮した場合としない場合の違いが視覚的には分からない。

11.4 Axial Slice Width

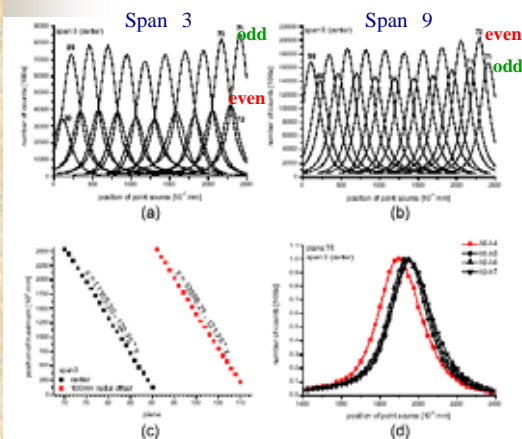


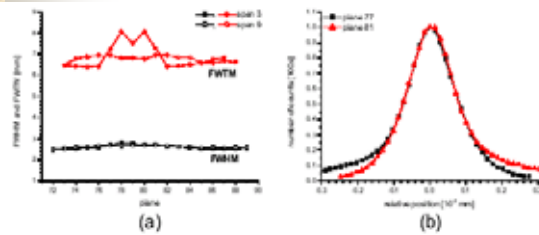
Figure 11.14: Axial slice profiles for planes 71 to 90, (a) Span 3, (b) Span 9, (c) Slice width measured for span 3 in the center and at 100mm radial offset, (d) Normalized slice profiles (plane 75) for specific detector head combinations.

- span3では奇数面、span9では偶数面のsensitivityが高い。
- Maximal count rate of Even/odd は span9で 1.23、span3で0.50であった。

Table 11.7: Sensitivity of even and odd planes

	# Planes		Ratio (even/odd)	
	even	odd	theoretical	measured
span 9	5	4	1.25	1.23
span 3	1	2	0.50	0.50

11.4 Axial Slice Width



- 中心でのFWHMの平均は span 3, span 9ともに2.6mm.
- FWTMはspan 9で6.8mm、一方、span 3は面によってばらつきが大きい。

Figure 11.15: (a) FWHM and FWTM for span 3 and span 9 measured in the center.
(b) Slice profiles (span 3) for slices 77 and 81 around a block border.

11.5 Scatter

Table 11.8: Scatter fractions (SF) for the NEMA 1994 measurement (ULD 650keV)

LLD [keV]	SF_{all}		SF_{Trans}
	all layers	front layer	
250	0.62	0.64	0.69
300	0.58	0.58	0.64
350	0.52	0.53	0.58
400	0.45	0.45	0.51
450	0.35	0.34	0.40

Table 11.9: Scatter fractions (SF) for the improved NEMA 2001 measurement (ULD 650keV)

LLD [keV]	SF	
	NEMA	improved NEMA
300	-	0.62
350	0.56	0.56
400	-	0.51
450	-	0.40

- NEMA NU 2-1994 Scatter Phantom
 - エネルギーウィンドウが250-650keVでは62%だったScatter fractionsが450-650keVでは35%に減少した。臨床で使われている350-650keVでは52%であった。
- NEMA NU 2-2001 Scatter Phantom (700mm NEMA Phantom)
 - エネルギーウィンドウ350-650keVでは、scatter fractionは56%であった。
- Improved 700mm NEMA Phantom Measurement
 - 測定値は200mm diameter water phantomとほぼ同じ。